



Kinematic Modelling of Origami-Inspired Continuum Robotic Arm by Constant-Curvature Elements

ARTICLE INFO

Article Type

Original Research

Authors

Sahebsara F.¹ MSc,
Taghvaeipour A.*¹ PhD,
Ghafarirad H.¹ PhD

How to cite this article

Sahebsara F, Taghvaeipour A, Ghafarirad H. Kinematic Modelling of Origami-Inspired Continuum Robotic Arm by Constant-Curvature Elements. *Modares Mechanical Engineering*. 2019;19(11):2729-2735.

ABSTRACT

Origami, as a paper folding art and Japanese culture, has been utilized broadly in engineering areas. The exclusive features of origami such as negative Poisson's ratio, lightweight, deployable and so forth, can be considered in the design of deployable space structures, expandable shelters, drug delivery, and robots. In this study, firstly, the continuum robot with six serial modules of origami parallel structure as its skeleton and the helical springs as the compliant backbone is studied, and constant curvature kinematics was implemented in order to simplify and approximate the kinematic model. Accordingly, the kinematic model of one module was derived. Then, the robot kinematics was obtained as a series of mentioned modules. Furthermore, the proposed continuum robot was modeled by an equivalent mechanism, and a comparison was conducted between the methods to obtain a workspace. Based on the results, the modeling of the equivalent mechanism has an advantage in terms of calculation's volume compared to the constant curvature method and the workspace obtained from both methods was the same. The Jacobian matrix was obtained through the constant curvature approximation methods, which can be considered for singularity analysis in specific conditions and the analysis reveals that the singularities occur when the curve and radius are equal and symmetry is created and the other is when the radius is equivalent to zero. The paper concludes a perspective on several of the themes of current research that are shaping the future of origami-inspired robotics.

Keywords Continuum Robot; Kinematic Modelling; Constant-Curvature Element; Origami; Origami Robot

CITATION LINKS

- [1] Continuum robots - a state of the art [2] Design and kinematic modeling of constant curvature continuum robots: a review [3] The mechanics and positioning of highly flexible manipulator limbs [4] 4-A hyper-redundant manipulator [5] Design of a lightweight hyper redundant deployable binary manipulator [6] Dynamics modeling of continuum manipulators by constant-curvature elements without numerical singularities [7] A survey on snake robot modeling and locomotion [8] Towards printable robotics: Origami-inspired planar fabrication of three-dimensional mechanisms [9] Origami inspired printed robots [10] Origami robot: a self-folding paper robot with an electrothermal actuator created by printing [11] Kinematics and mobility analysis of carton folds in packing manipulation based on the mechanism equivalent [12] From origami to a new class of centralized 3-DOF parallel mechanisms [13] Origami-based robotic paper-and board packaging for food industry [14] Four motion branches of an origami based eight bar spatial mechanism [15] Kinematic analysis and stiffness validation of origami cartons [16] A novel continuum-style robot with multilayer compliant modules [17] An extensible continuum robot with integrated origami parallel modules [18] Robotic origamis: self-morphing modular robots [19] Robogami: a fully integrated low-profile robotic origami. *Journal of Mechanisms and Robotics* [20] Tribot: a deployable, self-righting and multi-locomotive origami robot [21] SeleMori: a modular origami robot [22] Minimally actuated transformation of origami machines [23] Design methodology for constructing multimaterial origami robots and machines

¹Department of Mechanical Engineering, Amirkabir University of Technology, Tehran, Iran

*Correspondence

Address: No: 350, Hafez Street, Valiasr Square, Tehran, Iran
Phone: +98 (21) 64543418
Fax: -
ataghvaei@aut.ac.ir

Article History

Received: July 18, 2018
Accepted: May 21, 2019
ePublished: November 2, 2019

مدل‌سازی سینماتیکی بازوی ربات پیوسته الهام گرفته از اوریگامی با المان‌های انحا- ثابت

فرید صاحب‌سرا

دانشکده مهندسی مکانیک، دانشگاه صنعتی امیرکبیر، تهران، ایران

افشین تقوايی‌پور*

دانشکده مهندسی مکانیک، دانشگاه صنعتی امیرکبیر، تهران، ایران

حامد غفاری‌راد

دانشکده مهندسی مکانیک، دانشگاه صنعتی امیرکبیر، تهران، ایران

چکیده

اوریگامی که هنر تاکردن کاغذ و همچنین فرهنگ ژاپن است به صورت گستردۀ در زمینه‌های مهندسی مورد بهره‌برداری قرار گرفته است. ویژگی‌های منحصر به فرد اوریگامی از جمله ضربه پواسون منفی، وزن سبک، قابلیت گسترش بافت، و غیره به منظور طراحی سازه‌های قابل گسترش، جان‌بناهای، انتقال دارو و ربات‌ها نظر محققین را به خود جلب نموده است. در این پژوهش، رباتی پیوسته با شش مأژول از مکانیزم موازی اوریگامی که به عنوان آسکلت و یک فنر در هر مأژول، به عنوان ستون فقرات، مورد مطالعه قرار گرفت و سینماتیک انحا-ثابت به منظور ساده‌سازی و تقریب مدل سینماتیکی ربات پیاده‌سازی شد. بدین ترتیب ابتدا معادلات سینماتیک برای یک مأژول بدست آمدند و سپس مدل سینماتیکی کل ربات به صورت سری از مأژول‌های ذکر شده استخراج خواهد شد. به علاوه، ربات پیوسته مورد نظر به وسیله یک مکانیزم معادل مدل‌سازی شده است و مقایسه‌ای میان دو روش مذکور برای به دست اوردن فضای کاری صورت پذیرفت. با توجه به نتایج به دست آمده، مدل‌سازی مکانیزم معادل از نظر حجم محاسبات نسبت به روش انحا-ثابت ارجحیت داشت و فضای کاری به دست آمده از هر دو روش یکسان بود. ماتریس ژاکوبین، از روش‌های تقریب انحا-ثابت برای تحلیل تکینگی در شرایط خاص بدست آمده است و تحلیل آن بیانگر بروز تکینگی در مکان هندسی نقاطی از فضا بود که شاعع انحا با طول قوس یکسان شده و تقارن ایجاد می‌کرد و حالت دیگر، زمانی که ربات بدون انحا باشد. در نهایت چشم‌انداز پژوهش فعلی که شکل‌گیری آینده ربات‌های الهام گرفته از اوریگامی است ارائه شد.

کلیدواژه‌ها: ربات پیوسته، مدل‌سازی سینماتیکی، المان منحنی- ثابت، اوریگامی، ربات اوریگامی

تاریخ دریافت: ۱۳۹۷/۴/۲۷

تاریخ پذیرش: ۱۳۹۸/۲/۳۱

نویسنده مسئول: ataghvaei@aut.ac.ir

۱- مقدمه

ربات‌های پیوسته علاوه بر وزن سبک، قابلیت‌های حرکتی متمایزی نسبت به ربات‌های متداول با لینک‌های صلب دارند. با توجه به این قابلیت‌های ذاتی، از ربات‌های پیوسته می‌توان به منظور جابه‌جایی اجسام، پاهای ربات راهروند و بازوی ربات بهره‌برداری نمود. پتانسیل فراوان در کاربردهای ربات‌های پیوسته باعث توسعه آن‌ها در دهه‌های اخیر شده است^[۱, ۲].

ربات‌های پیوسته و بیش از ۵۰٪ وزن سبک، طیف وسیعی از حرکت و کنترل را برای کل بازوی ربات فراهم می‌کنند. ویلسون و ماهاجان^[۳] رباتی انعطاف‌پذیر با استفاده از تعدادی المان تیوب‌پلیمری ارائه کردند و تغییر شکل الاستیک آن را که توسط فشار مایع درون آن ایجاد می‌شد، مورد بررسی قرار دادند. چیریکچیان و بوردیک^[۴] نیز معیارهایی برای طراحی ربات صفحه‌ای بیش از ۳۰٪ درجه آزادی را معرفی کردند و از آن برای صحنه‌گذاری سینماتیک این ربات استفاده کردند. سوجان و دوبوفسکی^[۵] رباتی سبک با بیش از ۵۰٪ ساختند که زنجیری سری از مأژول‌های موازی، آن را تشکیل داده بود. دهقانی و موسویان^[۶] نیز مدل دینامیکی بدنه انعطاف‌پذیر ربات پیوسته را مستقل از نوع عملگر آن مورد بررسی

قرار دادند و با استفاده از بسط تیلور، از مشکل حالات تکین محاسباتی که در المان‌های انحا- ثابت رخ می‌دهد، جلوگیری کرده‌اند.

از دیگر ظرفیت‌های ربات‌های پیوسته، بهره‌برداری از آن‌ها در ماموریت‌های نجات و ناچیه‌های خط‌ناک می‌باشد که اغلب ربات مارمانند به دلیل پایداری بالا و قابلیت حرکت در انواع سطوح، بسیار مورد توجه محققان می‌باشد^[۷]. اونال و همکاران^[۸] پژوهشی بر ربات‌های قابل چاپ انجام داده‌اند. در این پژوهش، تکنیکی برای تبدیل سطح به سیستم‌های رباتیک^[۹] بعدی ارائه شده است. در واقع با بهره‌بردن از تکنیک‌های ساخت سریع، روش ساختی با هزینه اندک و سریع برای کاربردهای دنیای واقعی صنعت رباتیک معرفی کرده‌اند. برای تحقق این هدف، طرح‌های اوریگامی برای ایجاد طیف جدیدی از سیستم‌های رباتیک مد نظر قرار گرفتند. اوریگامی با توجه به اینکه در ابتدا طرحی بعده است، امکان استفاده از روش چاپ^[۱۰] بعدی را برای ربات‌های قابل چاپ به ارمغان آورد. اونال و همکاران در پژوهشی دیگر^[۱۱] به منظور بهبود فرآیند ساخت ربات که نیازمند تخصص، زمان، هزینه و در برخی موارد، سفارشی‌سازی است از تکنیک‌های ساخت سریع، به طور مثال چاپ^[۱۲] بعدی، استفاده کرده‌اند. اگرچه این روش قابلیت ایجاد هندسه‌های پیچیده را دارد و همچنین در دسترس است، اما در انتخاب مواد برای چاپگر محدودیت‌هایی را به همراه دارد. در مرجع^[۱۰] نیز که توجه پژوهش بر ربات‌های قابل چاپ می‌باشد، با بهره‌گیری از ویژگی‌های منحصر به فرد کاغذ، کاغذ مکاترونیکی را معرفی کرده‌اند.

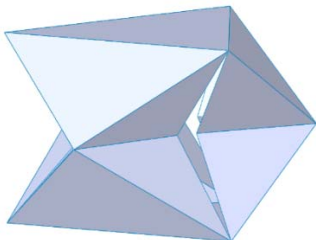
دای و همکاران پژوهش‌هایی در زمینه سینماتیک تا خوردن کاغذ، مقوا و طرح‌های اوریگامی بین سال‌های ۲۰۰۲ تا ۲۰۱۶ انجام داده‌اند. با توجه به اهمیت تاکردن مقوا در صنایع بسته‌بندی، دای و ریس جونز^[۱۲] مدلی ریاضی از هندسه کارتنهای و تحلیل سینماتیک آن‌ها با استفاده از تئوری پیچه ارائه کردند. در سال ۲۰۰۷ پژوهشی بر مکانیزم‌های موازی با الهام از اوریگامی انجام شد^[۱۳] که در آن موقعیت و هندسه مکانیزم بررسی و راه حل‌های گوناگون برای حل مسئله سینماتیک معکوس شناسایی شد. پتانسیل بازار بسته‌بندی با استفاده از مقوا و کاغذ در اروپا باعث شد تا دای و کالدول^[۱۴] به دنبال راه حل‌های اتوماسیون بسته‌بندی مواد غذایی، طرح‌های تاکردن کاغذ و مقوا از نوع اوریگامی را مورد مطالعه قرار دهند. پژوهش‌های بیشتری در سال ۲۰۱۳^[۱۵] از همکاران پیرامون مکانیزم‌های اوریگامی انجام شد که در مرجع^[۱۶]، سینماتیک مکانیزم بسته‌بندی کارتنهای با ارائه مکانیزم معادل ۸ میله‌ای فضایی مورد بررسی قرار گرفت. همچنین در پژوهشی دیگر^[۱۷] بسته‌بندی ۳ نوع کارتنهای با تکنیک اوریگامی طراحی شده بودند، مدل‌سازی ریاضی شدند و مدل‌ها با روش تجربی صحفه‌گذاری شدند. با این دستاورد، رفتار کارتنهای هنگام بسته‌بندی با ابعاد و مواد مختلف قابل پیش‌بینی می‌باشد. کی و همکاران^[۱۸] ربات پیوسته‌ای تشکیل شده از چند لایه مأژول را معرفی کردند که در آن خم‌شدن ربات از فشرده شدن آن مستقل می‌باشد و این مأژول‌ها به گونه‌ای طراحی شده بودند که با وجود خمس قابل توجه ربات، از ایجاد اصطکاک در مفصل‌ها جلوگیری می‌کرد. در این پژوهش همچنین سینماتیک و استاتیک ربات به دست آمده است و روش‌های تجربی برای صحنه‌گذاری طراحی و تحلیل آن ارائه شده است. همچنین سینماتیک ربات پیوسته محرك کابلی با بهره‌گیری از مأژول‌های اوریگامی مدل‌سازی شده است که در آن مأژول‌های اوریگامی با مکانیزم معادل تحلیل

به دست آوردن رابطه طول تاندون‌ها با موقعیت مجری نهایی، استخراج می‌شود. سپس سینماتیک دیفرانسیلی با استفاده از المان انحنا- ثابت به دست می‌آید و ماتریس ژاکوبین ارائه می‌گردد.

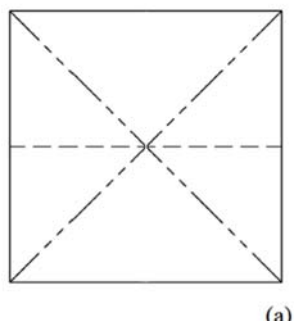
۲- طراحی مازول اوریگامی

یک سازه اوریگامی با تاکردن الگویی از خط تاهای یک ورق کاغذی شکل می‌گیرد. در این بخش فرآیند طراحی سازه اوریگامی با ۳ درجه آزادی و مونتاژ مازول‌ها برای تشکیل یک ربات کابلی پیوسته توضیح داده شده است.

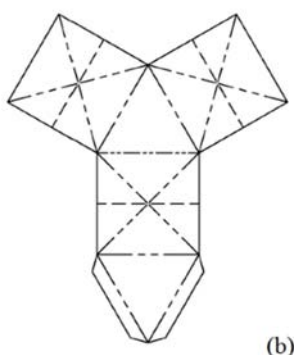
شکل ۲- الف الگوی واتریمب را نمایش داده است. این الگو از ۶ خط تا، در یک صفحه مربعی تشکیل شده است. الگوی ۲ بعدی مازول اوریگامی برای استفاده در ربات کابلی پیوسته مطابق شکل ۲- الف می‌باشد که در آن از ۳ الگوی واتریمب و ۲ مثلث متساوی الاضلاع استفاده شده است. این طرح ۲ بعدی با ۲ فلپ در مثلث پایینی به شکل "Y" درمی‌آید و با تاکردن آن از خط تاهای به حالت ۳ بعدی مطابق شکل ۱ تبدیل می‌شود.



شکل ۱) مازول: سازه موازی اوریگامی ساخته شده از کاغذ



(a)



(b)

شکل ۲) a) الگوی ۲ بعدی خط تا واتریمب، b) الگوی ۲ بعدی مازول اوریگامی با ۳ الگوی واتریمب و ۲ مثلث متساوی الاضلاع

۳- تحلیل سینماتیک

در این بخش، مدل سینماتیک یک المان به ترتیب با استفاده از المان‌های انحنا- ثابت و مکانیزم معادل برای آن به دست می‌آید.

شده‌اند و با ۲ نگاشت امکان انتقال از فضای پیکربندی به فضای کاری و از فضای عملگرها به فضای کاری فراهم آمده است^[17].

پایک و همکاران در سال‌های اخیر پژوهش‌های متعددی در مورد مکانیزم‌هایی با قابلیت پیکربندی مجدد و ربات‌های اوریگامی انجام داده‌اند. پژوهش^[18] ربات اوریگامی مازولار که امکان وصل‌شدن و قطع‌شدن المان‌های ربات را مهیا می‌سازد را معرفی می‌کند و در نتیجه آن، شکل‌ها و الگوهای پیچیده و نوینی را به ارمغان می‌آورد. این ربات تکنیک منحصر به‌فردی از ساخت ربات‌ها، با ادغام عملگرهای حافظه‌دار و مدارهای الکترونیک اعطا‌پذیر را ارائه می‌دهد. روبوگامی، رباتی سبک وزن و کم‌هزینه می‌باشد که با تبدیل از حالت ۲ بعدی به ۳ بعدی امکان تبدیل به یک ربات خزنده ۴ پا را دارد. تکنیک ساخت این ربات به گونه‌ای است که در صفحه‌های متعدد مدار کنترلی و الکترونیک، گرمکن و سنسورها به صورت دقیق و لایه به لایه نصب می‌شوند که با تحریک عملگرها این صفحه به ربات ۴ پا تبدیل می‌شود^[19]. تری‌بات، ربات سیاری است که می‌تواند همزمان ۲ نوع حرکت چesh و خزیدن را انجام دهد^[20]. به منظور ساخت این ربات از ۲ روش استفاده شده است.

اولین روش همان تکنیک ساخت لایه به لایه روبوگامی است و روش دوم استفاده از چاپگرهای ۳ بعدی برای آماده‌سازی بیشتر قطعه‌ها می‌باشد. پلکی و پایک^[21] پژوهشی درباره رباتی با قابلیت پیکربندی مجدد ساخت چند الگو از طرح‌های اوریگامی را ارائه داشت که امکان پیاده‌سازی این ربات را دارد. در مرجع^[22] رفتار دینامیکی سازه‌های اوریگامی مورد بررسی قرار گرفته است. در این پژوهش رابطه پاسخ دینامیکی سیستم و فرکانسی که به آن اعمال می‌شود، نشان داده شده است. همچنین این فرکانس را می‌توان با سختی و جرم متفاوت برای مکانیزم تغییر داد. از این دستاورد در سازه‌های اوریگامی به منظور طراحی مکانیزم‌های چنگکی می‌توان بهره برد. متدولوژی طراحی ربات‌های اوریگامی در پژوهش^[23] مورد توجه قرار گرفته است. ۴ اصلی که هنگام طراحی مکانیکی ربات اوریگامی باید به آن‌ها توجه شود، هندسه، مکانیزم، مواد و ساخت می‌باشد. در شاخه هندسه ربات، یک یا چند شکل ۳ بعدی که قابل تبدیل به یکدیگر هستند، تعریف می‌گردند و سپس الگوی خط تا ۲ بعدی به دست می‌آید و ترتیب تاکردن و زاویه تا، با توجه به لایه‌های ساندویچ شده معین می‌شود. همچنین در این مرحله انتخاب مواد در حرکت، سنسور و غیره تاثیرگذار است. در آخر فرآیند ساخت ۲ بعدی روبوگامی در چند مرحله تعیین می‌شود.

در این مقاله، مدل‌سازی سینماتیک بازوی ربات الهام‌گرفته از اوریگامی با درنظرگرفتن ۶ مازول مطابق شکل ۱ پرداخته می‌شود. هندسه این مازول‌ها مطابق پژوهش‌های^[6, 17] با درنظرگرفتن المان انحنا- ثابت و مکانیزم معادل بررسی می‌شود. سینماتیک انحنا- ثابت اغلب به عنوان مدلی مطلوب در ربات‌های پیوسته به دلیل ساده‌سازی‌هایی که به همراه دارد، مورد توجه است. در این مدل، ربات متشکل از تعداد محدود لینک‌های منحنی در نظر گرفته می‌شود و این لینک‌های منحنی با پارامترهای کمان مشخص می‌شوند. این پارامترها که فضای پیکربندی ربات را تعریف می‌کنند، شامل شعاع انحنا، زاویه صفحه‌ای که منحنی در آن قرار دارد و طول کمان می‌باشند.

در مدل سینماتیک دیگر، مازول در یک حالت عمومی در نظر گرفته می‌شود و با استفاده از هندسه مکانیزم موازی مازول اوریگامی، محور دوران مجازی و به دنبال آن مکانیزمی معادل برای آن به دست می‌آید. نگاشتی از فضای عملگرها به فضای پیکربندی برای

بيان می‌کند و دومی، ماتریس دوران حول محور Z را عنوان می‌کند تا موقعیت‌گیری ربات را در خارج صفحه نمایش دهد. ماتریس همگن انتقال با توجه به جدول ۱ به صورت معادله ۲ استخراج می‌شود که باید در نظر داشت $k = \frac{1}{r}$ و $\theta = ks$ می‌باشد.

$$T = \begin{bmatrix} \cos\phi \cos ks & -\sin\phi & \cos\phi \sin ks & \frac{\cos\phi(1-\cos ks)}{k} \\ \sin\phi \cos ks & \cos\phi & \sin\phi \sin ks & \frac{\sin\phi(1-\cos ks)}{k} \\ -\sin ks & 0 & \cos ks & \frac{\sin ks}{k} \\ 0 & 0 & 0 & 1 \end{bmatrix} \quad (2)$$

جدول ۱) پارامترهای دناویت- هارتبرگ مأذول انحنا- ثابت الهام گرفته از اوریگامی، مطابق شکل ۴

i	a_{i-1}	a_{i-1}	d_i	θ_i
۱	$-\pi/2$.	.	ϕ
۲	$\pi/2$.	.	$ks/2$
۳	$-\pi/2$.	$(2/k) \times \sin(ks/2)$.
۴	$\pi/2$.	.	$ks/2$
۵	.	.	.	$-\phi$

در ادامه به منظور مدل‌سازی سینماتیک سازه اوریگامی با درنظرگرفتن تقارن و ساختار موازی آن، می‌توان به یک مکانیزم معادل با ۳ درجه آزادی برای تحلیل ربات دست یافت. به منظور ساده‌سازی، مختصات‌های $O_b - XYZ$ و $O_p - uvw$ مطابق شکل ۵، به ترتیب به مرکزهای O_b و O_p از پایه و پلتفرم متحرک متصل شده‌اند و در یک حالت عمومی از وضعیت مأذول ربات اوریگامی، ۲ صفحه پایه و پلتفرم خط مشترک D_1D_2 را پیدید می‌آورند. این خط به واسطه ۲ نقطه D_1 (از تلاقی محورهای C_1C_2 و $C'_1C'_2$) و D_2 (از تلاقی محورهای C_1C_3 و $C'_1C'_3$)، قابل رسم است. با توجه به اینکه صفحه‌های پایه و پلتفرم متحرک نسبت به صفحه Π متقاضی و محورهای Z و W در ای نقطه مشترک F بر روی صفحه Π می‌باشد، پلتفرم متحرک حول محور دوران مجازی که از نقطه F می‌گذرد، دوران می‌کند. این محور با FG مشخص می‌شود و عمود بر صفحه O_bO_pE می‌باشد. همچنین این صفحه به وسیله ۲ بردار Z و W نیز قابل تعریف است. در نتیجه، خط D_1D_2 عمود بر صفحه O_bO_pE و همچنین موازی محور مجازی FG می‌باشد.

با توجه به اینکه خط D_1D_2 عمود بر صفحه O_bO_pE می‌باشد، نقطه E بر خط D_1D_2 قرار دارد و خط ED₂ بر خط‌های EO_b و EO_p نیز عمود می‌باشد. حال راستای EO_b که در نتیجه آن راستای ED₂ و محور مجازی FG که با آن موازی می‌باشد، به دست می‌آید. در ادامه تحلیل هندسی، بردار واحد Se که راستای EO_b را در دستگاه مختصات $O_b - XYZ$ می‌سازد، به صورت رابطه ۳ به دست می‌آید.

$$S_e = \begin{bmatrix} \cos\delta \\ \sin\delta \\ 0 \end{bmatrix} \quad (3)$$

بردار واحد S_{en} موازی محور ED₂ می‌باشد که عمود بر بردار است. در نتیجه آن رابطه ۴ به دست می‌آید.

$$S_{en} = \begin{bmatrix} \sin\delta \\ -\cos\delta \\ 0 \end{bmatrix} \quad (4)$$

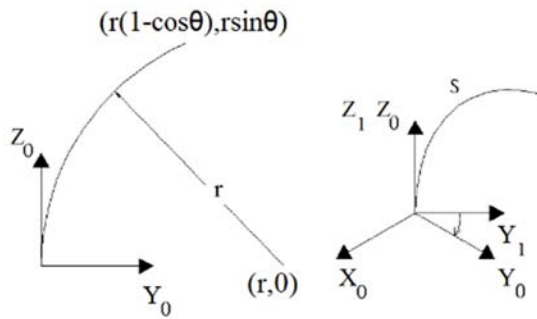
بردار r_p که موقعیت مرکز O_p را در دستگاه مختصات $O_b - XYZ$ معین می‌سازد، به صورت رابطه ۵ به دست می‌آید.

پارامترهای هندسی معرفی شده، سپس نگاشتی از فضای پیکربندی به فضای کاری به دست می‌آید.

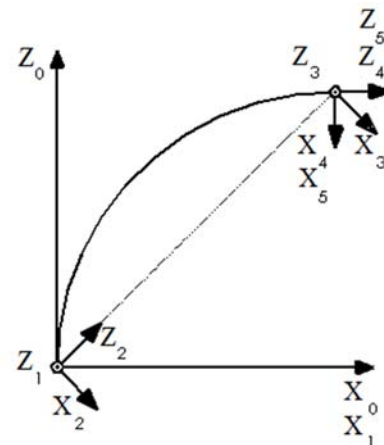
به منظور تعریف فضای پیکربندی ربات پیوسته، همانند شکل ۳ در یک حالت عمومی ربات که در فضای کاری ایجاد می‌کند در نظر گرفته می‌شود. این کمان با پارامترهای k، معکوس شعاع انحنای کمان (r) می‌باشد و φ زاویه صفحه‌ای که کمان در آن قرار دارد و همچنین l که طول کمان است، تعریف می‌گردد.

در نتیجه به واسطه پارامترهای کمان این امکان فراهم می‌شود که با یک نگاشت از فضای عملگرها به فضای پیکربندی انتقال یافتد. البته این نگاشت برای هر ربات پیوسته به دلیل انحصار نوع عملگر متفاوت می‌باشد و در حالت خاص با درنظرگرفتن تقریب مناسب برای گشتاور و نیروی اعمالی، این نگاشت متغیرهای عملگر را برای هر قسمت از ربات با پارامترهای کمان بیان می‌کند. نگاشت دوم، برخلاف نگاشت اول که وابسته به نوع عملگرها می‌باشد برای هر نوع ربات پیوسته قابل پیاده‌سازی می‌باشد و با ثابت درنظرگرفتن طول قوس هر قسمت از ربات، کل ربات به صورت منحنی ثابت تقریب زده می‌شود. این نگاشتی کاملاً سینماتیکی می‌باشد که مطابق معادله ۱، پارامترهای کمان را به فضای کاری انتقال می‌دهد.

$$T = \begin{bmatrix} R_z(\phi) & 0 \\ 0 & 1 \end{bmatrix} \begin{bmatrix} R_y(\theta) & p \\ 0 & 1 \end{bmatrix} \quad (1)$$



شکل ۳) (الف) کمان در صفحه X-Z، هنگامی که φ صفر می‌باشد، نمایش داده شده است. ب) زاویه φ کمان را خارج از صفحه X-Z حول محور Z دوران داده.



شکل ۴) محورهای مختصات دناویت- هانتبرگ متصل شده به المان انحنا- ثابت ربات اوریگامی

نگاشت سینماتیکی شامل ۲ انتقال می‌باشد که اولی، نقطه انتهای کمان را در صفحه به صورت $p = [r(1 - \cos \theta) \ r \sin \theta]$ صفر

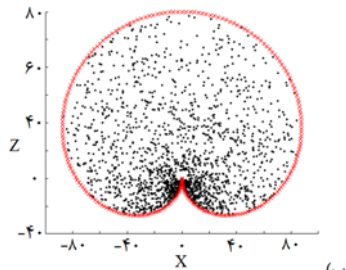
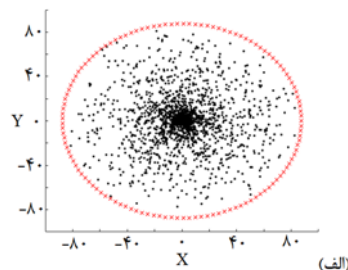
۳-۱- فضای کاری

در این مقاله، از روش مونته کارلو برای بدست آوردن فضای کاری ربات بر اساس مدل‌سازی مکانیزم معادل استفاده شده است. اساس این روش تعیین مقادیری تصادفی برای هر یک از پارامترهای کمان در بازه مشخص آن‌ها می‌باشد. به این صورت که مقادیری تصادفی از تفاضل کمینه و بیشینه پارامتر انتخاب شده و با مقدار کمینه پارامتر جمع می‌گردد. شعاع انحنای ربات بین صفر تا ۱۷ میلی‌متر می‌باشد. با توجه به این که ربات با شعاع انحنای صفر در موقعیت تکین قرار می‌گیرد، مقدار کمینه یک میلی‌متر برای آن لحاظ گردید. برای طول کمان، با توجه به ضخامت ورقهای پیوی‌سی و فنر در حالت جمع شده مژاول، مقداری بین ۲ تا ۲۰ در نظر گرفته شد و زاویه خارج از صفحه X-Z بین صفر تا ۳۶ درجه تعیین شد. با پیاده‌سازی الگوریتم مذکور، فضای کاری ربات اوریگامی که از روش مکانیزم معادل مدل‌سازی شده، مطابق شکل ۶ به دست می‌آید.

به منظور بررسی فضای کاری ربات اوریگامی که با المان‌های انحنای- ثابت مدل‌سازی شده است، الگوریتمی ساده در نظر گرفته شده است. در این الگوریتم ابتدا دامنه متغیرها و مقادیر اولیه آنها تعیین شده و سپس با تقسیم دامنه بر تعداد گام‌ها، گام متغیرها به دست می‌آید. با معرفی شمارنده و تعداد گام هر متغیر به عنوان متغیری وابسته به شمارنده، الگوریتم پیاده‌سازی می‌شود که نتیجه مطابق شکل ۶ مزدی برای روش قبلی خواهد بود. از قیاس این مزد در صفحه‌های X-Y و X-Z با فضای کاری به دست آمده از روش مونت کارلو می‌توان دریافت که هر ۲ روش مدل‌سازی خروجی یکسانی داشته است و موقعیت تصادفی مجری نهایی از روش مکانیزم معادل درون مزد قرار گرفته است، با این تفاوت که در روش مکانیزم معادل سرعت محاسبات بهینه‌تر بود.

۳-۲- ماتریس ژاکوبین

به منظور بدست آوردن روابط حاکم بر سرعت مجری نهایی، مناسب است که مطابق شکل ۷، از فضای عملگرهای به فضای پیکربندی انتقال صورت گیرد و با توجه به اینکه پیش‌تر ماتریس تبدیل از فضای پیکربندی به فضای کاری استخراج شد، می‌توان به مشتق‌گیری از ستون چهارم ماتریس تبدیل‌ها، ژاکوبین ربات را به دست آورد.



شکل ۶) (الف) فضای کاری ربات اوریگامی از صفحه X-Y، (ب) فضای کاری ربات اوریگامی از صفحه X-Z

$$r_p = r_0 \begin{bmatrix} \sin \psi \cos \delta \\ \sin \psi \sin \delta \\ \cos \psi \end{bmatrix} \quad (5)$$

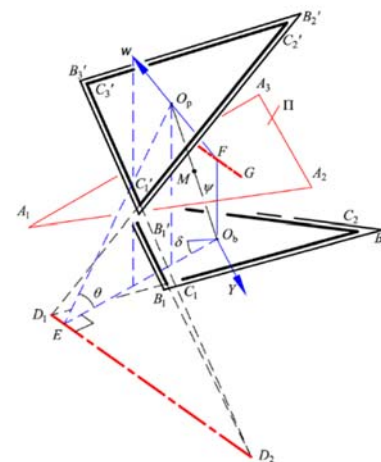
که در این رابطه r_0 فاصله بین مرکز O_p و مرکز O_b ، زاویه ψ زاویه بین بردار r_p و محور Z را اندازه می‌گیرد. به منظور به دست آوردن فاصله نقطه F از مرکز O_b بیان شده در دستگاه مختصات -XYZ، نقطه دلخواه N در صفحه II و نقطه M منصف خط M-N بیان شده است. با توجه به هندسه مسئله، خط گزرنده از نقاط N و M بایستی بر بردار r_p عمود باشد.

$$r_p \cdot r_{nm} = 0 \quad (6)$$

که در این رابطه نقطه دلخواه N را فرض کرده و بدار موقعیت نقطه F با جایگذاری $x = 0$ و $y = 0$ و حل قید فوق به صورت رابطه ۷ حاصل می‌گردد. سپس با داشتن راستای محور دوران مجازی، بدار موقعیت این محور که در صفحه II بیان شده، به دست می‌آید.

$$r_f = \begin{bmatrix} 0 \\ 0 \\ \frac{r_0}{2} \cos \psi \end{bmatrix} \quad (7)$$

با توجه به اینکه در بخش قبل محور دوران هر یک از مژاول‌های موازی اوریگامی و بیان تحلیلی آن برای محور دوران به دست آمد، مدل سینماتیکی ربات از روش دناویت- هارتبرگ قابل مدل‌سازی می‌باشد. به منظور بررسی سینماتیک، دستگاه‌های مختصات به هر مژاول متصل شده است. به طوری که برای پایه مختصات -XYZ، برای مختصات موقعیت نهایی $i=1, 2, \dots, 5$ مختصات‌های $X_i Y_i Z_i$ برای پلتفرم متحرک مژاول‌های $i=1, 2, \dots, 5$ در نظر گرفته شده‌اند. در نتیجه موقعیت و جهت گیری بخش انتهایی ربات از سینماتیک مستقیم به دست می‌آید. با تعریف پارامترهای دناویت- هارتبرگ، مطابق جدول ۲، ماتریس تبدیل بین ۲ صفحه پایه و پلتفرم متحرک برای هر مژاول اوریگامی قابل استخراج است.



شکل ۵) مدل سینماتیکی از مکانیزم معادل سازه اوریگامی

جدول ۲) پارامترهای دناویت- هارتبرگ برای ربات اوریگامی با روش مکانیزم معادل

i	θ_i	d_i	a_{i-1}	α_{i-1}
۱	δ	.	.	.
۲	ψ	.	.	$-\pi/2$
۳	.	.	.	$\pi/2$
۴	ψ	.	.	$-\pi/2$
۵	.	.	.	$\pi/2$

رابطه (۱۳) و (۱۴)، از فضای پیکربندی به فضای کاری و از فضای عملگرها به فضای پیکربندی را به دست آورد.

$$\phi = \tan^{-1}\left(\frac{\sqrt{3}(l_2+l_3-2l_1)}{3(l_2-l_3)}\right) \quad (11)$$

$$k = \frac{2\sqrt{l_1^2+l_2^2+l_3^2-l_1l_2-l_1l_3-l_2l_3}}{(l_1+l_2+l_3)d} \quad (12)$$

$$\begin{bmatrix} \dot{x} \\ \dot{y} \\ \dot{z} \end{bmatrix} = J_{CW} \begin{bmatrix} \dot{s} \\ \dot{\phi} \\ \dot{k} \end{bmatrix} \quad (13)$$

$$\begin{bmatrix} \dot{s} \\ \dot{\phi} \\ \dot{k} \end{bmatrix} = J_{AC} \begin{bmatrix} \dot{l}_1 \\ \dot{l}_2 \\ \dot{l}_3 \end{bmatrix} \quad (14)$$

با تحلیل ماتریس‌های (۱۳) و (۱۴)، تکینگی در ماتریس J_{AC} مشاهده نمی‌شود. به این معنی که با اعمال ورودی به عملگرها که تاندون‌های ربات می‌باشد در نگاشت از فضای عملگرها به فضای پیکربندی که شعاع انحنای بازوی ربات، طول ربات و زاویه‌ای که صفحه ربات در آن قرار گرفته مقدار خواهد داشت و در همه حالت‌ها درجه آزادی خود را از دست نمی‌دهد. اما در ماتریس J_{CW} با توجه به معادله (۱۵) دارای تکینگی خواهد بود.

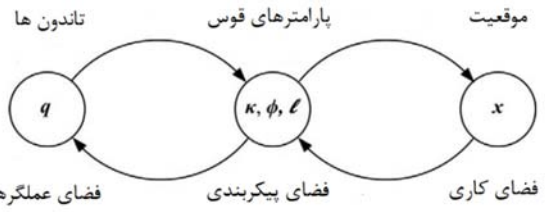
$$\frac{-6(\cos(6kl)-1)^2}{k^3} = 0 \quad (15)$$

در واقع هنگامی که بازوی ربات به سوی حالت قائم (شعاع انحنای ربات صفر است) میل می‌کند، k به سمت بینهایت میل می‌کند و معادله ۱۵ با تکینگی مواجه می‌شود و حالت دیگری از تکینگی $(\cos(6kl)-1=0)$ ، با دوران 60° درجه حول محور مجازی مجری نهایی در موقعیت پایه قرار گرفته و با دوران خارج از صفحه ϕ موقعیت آن تغییر نمی‌کند.

۴- جمع‌بندی و نتیجه‌گیری

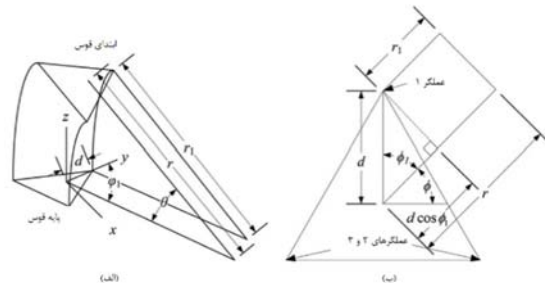
هدف این پژوهش ارائه مدلی از ربات الهام گرفته از اوریگامی می‌باشد که در بخش ۲ طراحی مازول مکانیزم موازی اوریگامی با استفاده از طرحی در فضای ۲ بعدی مورد بحث قرار گرفت و سینماتیک ربات الهام گرفته از اوریگامی از ۲ روش مکانیزم معادل و المان‌های انحنا ثابت اثبات مطالعه قرار گرفت. همان‌طور که در تحلیل موقعیت و فضای کاری مشخص است، هر ۲ روش نتیجه‌ای یکسان داشته و با این تفاوت که حجم محاسبات روش مکانیزم معادل در مقایسه با المان‌های انحنا ثابت به طور قابل توجهی اندک می‌باشد. ۲ ماتریس ژاکوبین برای نگاشت از فضای عملگرها به فضای پیکربندی و سپس از فضای پیکربندی به فضای کاری به دست آمد. با بررسی ماتریس‌ها، تکینگی ربات اوریگامی در موقعیتی که ربات در راستای قائم پایه و هنگامی که حول محور مجازی 60° درجه دوران کرده، به دست آمد.

در پژوهش‌های آینده با توجه به ویژگی‌های منحصر به فرد این ربات در محل‌های تاخوردن، سختی مازول‌ها و ربات اوریگامی مورد توجه قرار خواهد گرفت. همچنین با توجه به کاربرد آن در زمینه جابجایی اجسام، ارتعاشات آن مورد مطالعه قرار خواهد گرفت و مدلی برای کنترل ارتعاشات ربات ارائه خواهد شد. با توجه به ویژگی‌های ربات اوریگامی، کاربردی‌های وسیعی در زمینه‌های فضایی، ماموریت‌های نجات و جابجایی اجسام می‌توان برای آن در نظر داشت.



شکل (۷) ۳ فضای کاری، پیکربندی و عملگرها و نگاشت بین آنها برای تعریف سینماتیک ربات منحنی- ثابت

در نتیجه، ابتدا ماتریس تبدیل بین فضای عملگرها و فضای پیکربندی را به دست آورد و سپس با مشتقگیری از ماتریس تبدیل بین فضای کاری و فضای پیکربندی و ماتریس تبدیل فضای پیکربندی و فضای عملگرها و با بهره‌گیری از مشتق زنجیری، ماتریس ژاکوبین بین متغیرهای عملگرها و فضای کاری استخراج خواهد شد. شکل ۸، پایه و صفحه متحرک ربات را در حالت عمومی نمایش می‌دهد. در معادله ۸، d فاصله مرکز مقطع ربات تا تاندون عملگر می‌باشد و زاویه ϕ ، زاویه بین راستای خم‌شدن ربات با هر عملگر را بیان می‌کند. با ضرب زاویه قوس θ در رابطه ۸ و با توجه به اینکه $\theta r_i = \theta r_i$ و $s = b r_i$ برقرار می‌باشد، معادله ۹ به دست می‌آید.



شکل (۸) (الف) بخشی از کمان که پارامترهای کمان در آن تعریف شده است.
ب) نمایی از بخش پایه کمان

$$r_i = r - d \cos \phi_i \quad (8)$$

$$s = l_i + \theta d \cos \phi_i \quad (9)$$

با توجه به اینکه روابط $\phi_2 = 210^\circ - \phi$ ، $\phi_1 = 90^\circ - \phi$ و $\phi_3 = 330^\circ - \phi$ برقرار می‌باشد و با قراردادن آن‌ها در معادله ۹، طول قوس بر اساس طول عملگرها به صورت رابطه ۱۰ قابل بیان می‌باشد

$$s = \frac{l_1 + l_2 + l_3}{3} \quad (10)$$

با استفاده از معادله ۹ برای ۲ عملگر ۱ و ۲، رابطه‌ای با متغیرهای ϕ ، θ و طول عملگرها به صورت $-l_1 - l_2 + \theta d \cos \phi_1 = 0$ و $\cos \phi_2 = 0$ به دست می‌آید که با تکرار این روند برای عملگرها ۲ و ۳، با حذف θ و جای‌گذاری ϕ ، ϕ را می‌توان به دست آورد.

با در نظر داشتن $ks = \theta r_i$ ، $l_i = \theta r_i$ و $ks = \theta$ آن‌ها در رابطه ۸ نیز می‌توان k را به دست آورد. در نتیجه ϕ و k که به ترتیب زاویه خارج از صفحه ربات و شعاع انحنای قوس ربات در صفحه را معین می‌سازند به صورت معادله‌های ۱۱ و ۱۲ استخراج می‌شوند. با مشتقگیری از روابط (۳)، (۱۱)، (۱۰) و سپس مرتب‌سازی آن‌ها می‌توان به ترتیب ماتریس‌های ژاکوبین، مطابق

snake robot modeling and locomotion. *Robotica*. 2009;27(7):999-1015.

8- Onal CD, Wood RJ, Rus D. Towards printable robotics: Origami-inspired planar fabrication of three-dimensional mechanisms. *IEEE International Conference on Robotics and Automation*. Shanghai, China; 2011.

9- Onal CD, Tolley MT, Wood RJ, Rus D. Origami inspired printed robots. *IEEE/ASME Transactions on Mechatronics*. 2015;20(5):2214-2221.

10- Shigemune H, Maeda S, Hara Y, Hosoya N, Hashimoto S. Origami robot: a self-folding paper robot with an electrothermal actuator created by printing. *IEEE/ASME Transactions on Mechatronics*. 2016;21(6):2746-2754.

11- Dai JS, Rees Jones J. Kinematics and mobility analysis of carton folds in packing manipulation based on the mechanism equivalent. *Journal of Mechanical Engineering Science*. 2002;216(10):959-970.

12- Rodriguez Leal E, Dai JS. From origami to a new class of centralized 3-DOF parallel mechanisms. *31st Mechanisms and Robotics Conference*. Las Vegas, Nevada; 2007.

13- Dai JS, Caldwell DG. Origami-based robotic paper-and board packaging for food industry. *Trends in Food Science & Technology*. 2010;21(3):153-157.

14- Qin Y, Dai JS. Four motion branches of an origami based eight bar spatial mechanism. *37th Mechanisms and Robotics Conference*. Portlan, Oregon; 2013.

15- Qiu C, Aminzadeh V, Dai JS. Kinematic analysis and stiffness validation of origami cartons. *Journal of Mechanical Design*. 2013;135(11):MD-13-1072.

16- Qi P, Qiu C, Liu H, Dai JS, Seneviratne L, Althoefer K. A novel continuum-style robot with multilayer compliant modules. *IEEE/RSJ International Conference on Intelligent Robots and Systems*. Chicago, USA; 2014.

17- Zhang K, Qiu C, Dai JS. An extensible continuum robot with integrated origami parallel modules. *Journal of Mechanisms and Robotics*. 2016;8(3):031010.

18- Paik JK, Byoungkwon A, Rus D, Wood RJ. Robotic origamis: self-morphing modular robots. *2nd International Conference on Morphological Computation (ICMC)*, Venice, Italy, Sept. 12-14 2012. Geneva: ICMC; 2012.

19- Firouzeh A, Paik J. Robogami: a fully integrated low-profile robotic origami. *Journal of Mechanisms and Robotics*. 2015;7(2):1-8.

20- Zhakypov Z, Belke CH, Paik J. Tribot: a deployable, self-righting and multi-locomotive origami robot. *IEEE/RSJ International Conference on Intelligent Robots and Systems*. Vancouver, Canada; 2017.

21- Belke CH, Paik J. Mori: a modular origami robot. *IEEE/ASME Transactions on Mechatronics*. 2017;22(5):2153-2164.

22- Zuliani F, Liu C, Paik J, Felton SM. Minimally actuated transformation of origami machines. *IEEE Robotics & Automation Magazine*. 2018;3(3):1426-1433.

23- Zhakypov Z, Paik J. Design methodology for constructing multimaterial origami robots and machines. *IEEE Transactions on Robotics*. 2018;34(1):151-165.

تشکر و قدردانی: نویسنده‌گان این مورد را بیان نکردند.

تأثیردهی اخلاقی: نویسنده‌گان این مورد را بیان نکردند.

تعارض منافع: نویسنده‌گان این مورد را بیان نکردند.

سهم نویسنده‌گان: فرید صاحب‌سرای (نویسنده اول)، پژوهشگر اصلی

(%)؛ افشن تقوایی‌پور (نویسنده دوم)، پژوهشگر کمکی (%)؛ حامد غفاری‌راد (نویسنده سوم)، تحلیلگر آماری (%)

منابع مالی: نویسنده‌گان این مورد را بیان نکردند.

۵- فهرست عالیم

عکس شعاع انحنا	k
طول تاندون i	l_i
شعاع انحنا	r
فاصله ۲ مبدأ O _P و O _B	r_0
طول کمان	s
فاصله مرکز مقطع ربات تا تاندون	d
رأس آم مثبت پایه	C_i
رأس آم مثلث پلتفرم متحرک	C'_i
ژاکوبین انتقال از فضای پیکربندی به فضای کاری	J_{CW}
ژاکوبین انتقال از فضای عملگرها به فضای پیکربندی	J_{AC}
مرکز دستگاه مختصات متصل به پایه	O_b
مرکز دستگاه مختصات متصل به مجری نهایی	O_d
مرکز دستگاه مختصات متصل به صفحه‌های میانی	O_i
محور دوران مجازی	FG
عالیم یونانی	
زاویه دوران حول محور	δ
زاویه دوران حول محور مجازی	θ
زاویه دوران خارج از صفحه	ϕ
زاویه دوران حول محور FG	ψ
صفحه مقاین مکانیزم معادل	Π

منابع

- 1- Robinson G, Davies JBC. Continuum robots - a state of the art. *IEEE International Conference on Robotics and Automation*. Detroit, Michigan; 1999.
- 2- Webster RJ, Jones BA. Design and kinematic modeling of constant curvature continuum robots: a review. *The International Journal of Robotics Research*. 2010;29(13):1661-1683.
- 3- Wilson JF, Mahajan U. The mechanics and positioning of highly flexible manipulator limbs. *Journal of Mechanisms, Transmissions, and Automation in Design*. 1989;111(2):232-237.
- 4- Chirikjian GS, Burdick JW. 4-A hyper-redundant manipulator. *IEEE Robotics & Automation Magazine*. 1994;1(4):22-29.
- 5- Sujan VA, Dubowsky S. Design of a lightweight hyper redundant deployable binary manipulator. *Journal of Mechanical Design*. 2004;126(1):29-39.
- 6- Dehghani M, Moosavian SAA. Dynamics modeling of continuum manipulators by constant-curvature elements without numerical singularities. *Modares Mechanical Engineering*. 2015;14(15):231-240. [Persian]
- 7- Transeth AA, Pettersen KY, Liljeback P. A survey on